

طراحی و ساخت حسگر فیبر نوری آزمایشگاهی برای اندازه‌گیری فشار گازها به روش فابری-

پرو و بررسی تأثیر جنس پلیمری بر حساسیت آن

فرزاد بشیری^۱، علی ریاحی^{۲*}، حامد مرادی^۳

۱- دانشجوی کارشناسی ارشد، ۲- مرتبی، ۳- دکترای تخصصی، دانشگاه جامع امام حسین (ع)، تهران، ایران

(دریافت: ۱۴۰۱/۱۲/۲۰، پذیرش: ۱۴۰۲/۰۵/۲۴)

چکیده

در این مقاله، طراحی و ساخت حسگر فیبر نوری فابری-پرو با لایه‌ای از مواد پلیمری پلی‌بورتان، پی‌وی‌سی نرم و پی‌وی‌سی سخت با ضخامت‌های یکسان ۳۰۰ میکرومتر و طول کاواک ۱۰۰ میلی‌متر برای اندازه‌گیری فشار گاز معرفی شده و تأثیر این سه ماده پلیمری بر حساسیت حسگری فشار گاز مورد بررسی قرار گرفته است. حسگرهای فوق در دمای ثابت آزمایشگاهی تست شده و با یکدیگر مقایسه شده‌اند. برای انجام تست‌های فشار گاز از دو گاز اکسیژن و نیتروژن در بازه فشاری ۱۰ تا ۵۰ میلی‌بار استفاده شده است. حسگر با لایه پلی‌بورتان برای گاز اکسیژن و نیتروژن به ترتیب دارای حساسیت ۰/۴۳۸ و ۰/۳۹۲ نانومتر بر میلی‌بار، حسگر با لایه پی‌وی‌سی سخت برای گاز اکسیژن و نیتروژن به ترتیب دارای حساسیت ۰/۳۱۱ و ۰/۲۲۴ نانومتر بر میلی‌بار و حسگر با لایه پی‌وی‌سی سخت برای گاز اکسیژن و نیتروژن به ترتیب دارای حساسیت ۰/۲۹۸ و ۰/۱۸۶ نانومتر بر میلی‌بار می‌باشند. نتایج به دست آمده نشان می‌دهد که حسگر ساخته شده با لایه نشانی پلی‌بورتان حساسیت بیشتری نسبت به حسگرهای ساخته شده برای هر دو گاز دارد.

کلیدواژه‌ها: فیبر نوری، حسگر فیبر نوری، حسگر فابری-پرو، فشار گاز، مواد پلیمری

حسگرهای فیبر نوری به چهار دسته کلی تقسیم‌بندی می‌شوند. این چهار دسته، حسگرهای مبتنی بر شدت نور، حسگرهای مبتنی بر قطبش نور (حسگرهای قطبشی) و حسگرهای مبتنی بر طول-موج نور (حسگرهای طیفی) هستند [۸-۵]. یکی از انواع حسگرهای فیبر نوری مبتنی بر فاز نور، حسگرهای فیبر نوری فابری-پرو هستند. این حسگرهای به صورت نقطه‌ای و آرایه‌ای قابل پیاده‌سازی هستند [۱۱-۹]. این حسگرهای با ابعاد بسیار کوچک، دارای حساسیت خیلی زیاد هستند. اگر یکی از بازتابندهای فابری-پرو در این حسگرها به حالت دیافراگم باشد، می‌تواند برای فشارسنجی استفاده شود. مواد مختلفی را می‌توان به عنوان دیافراگم مورد استفاده قرار داد [۱۲]. روش‌های مختلفی با استفاده از پلیمر [۱۳]، گرافین [۱۴]، سیلیکون [۱۵]، طلا [۱۶]، نقره [۱۷]... در ساختن دیافراگم این نوع حسگرها استفاده شده است. شیائو و همکاران (۲۰۰۴) جزء اولین گروههایی بودند که درباره حسگرهای فیبر نوری فابری-پرو برای اندازه‌گیری فشار گاز به پژوهش پرداختند. گاز مورد استفاده آن‌ها نیتروژن بود. در نتایج به دست آمده حساسیت فشار ۰/۳۵ پوند بر اینچ مریع است، که این نشان می‌دهد این حسگرها حساسیت بالایی برای فشار دارند [۱۰]. هیونگ‌دابائه و همکاران (۲۰۱۴) یک حسگر فیبر نوری فابری-پرو برای اندازه‌گیری فشار گاز ساختند، که دیافراگم آن از جنس کامپوزیت پلیمری بود در نتیجه حساسیت

۱- مقدمه

در دنیای امروز حسگرها نقش اساسی در زندگی بشر ایفا کرده‌اند. مقوله اندازه‌گیری و ابزار اندازه‌گیری به‌ویژه توسعه حسگرها یکی از موضوعاتی است که در چند سال اخیر به طور خیلی سریع توسعه یافته است. امروزه با تنوع گسترده در انواع حسگرها، ارائه حسگری که از نظر سرعت و دقت حسگری نسبت به روش‌های پیش از خود دارای برتری‌هایی باشد، دارای اهمیت فراوانی است. از دهه ۱۹۷۰ به بعد استفاده از فیبرهای نوری گسترده‌تر شد، به عنوان نمونه می‌توان به استفاده در صنعت مخابرات، پزشکی، حسگری و... اشاره کرد. استفاده از حسگر فیبر نوری جهت سنجش پارامترهای فیزیکی و شیمیایی، رؤایی بود که پس از سال ۱۹۷۰ محقق شد [۴-۱]، و تاکنون موارد مختلفی از آنها ساخته و مورد آزمایش و بهره‌برداری قرار گرفته‌اند. تنوع اندازه-گیری‌های انجام شده توسط حسگرهای فیبر نوری باعث شده که کاربرد این حسگرها بسیار گسترده شود. از انواع این اندازه-گیری‌ها می‌توان به تغییر شکل‌های ساختاری، فرکانس، ارتعاش، مد فضایی، فشار، دما، کرنش، شتاب، میدان مغناطیسی و سرعت سیال اشاره کرد که تعدادی از آنها از مرحله تحقیقاتی خارج شده و نمونه‌های تجاری آن‌ها نیز ساخته شده است [۱]. بسته به اینکه کدام خصوصیت نور در فرایند حسگری تغییر می‌کند؛

آلفرد پرو^۳ ساخته شد. این تداخل سنج در نورشناسی جدید از اهمیت خاصی برخوردار است. این تداخل سنج از یک تیغه شفاف با دو سطح بازتابنده یا از دو آینه موازی با بازتابندگی زیاد ساخته می‌شود. (از نظر فنی باید تیغه اول را اتالون و دو آینه را تداخل سنج نامید، ولی معمولاً این دو اصطلاح را به جای هم به کار می‌برند). طیف عبوری تابعی از طول موج است که قله‌هایی بزرگ از تشییدهای عبوری از اتالون را نشان می‌دهد [۲۱]. در موقعی که این دستگاه به عنوان تداخل سنج به کار می‌رود، طول هوای مسدود از چندین میلی‌متر تا چندین سانتی‌متر تغییر می‌کند و وقتی که به عنوان کلاواک تشید لیزر به کار می‌رود؛ غالباً این طول به طور چشمگیری افزایش خواهد یافت. مهم‌ترین مزیت تداخل سنج فابری-پرو، تیز و طریف بودن فریزهای آن است که باعث بالارفتن توان تفکیک دو طول موج می‌شود. با افزایش ضربی بازتاب آینه‌ها، ظرفت فریزها نیز افزایش می‌یابد.

حسگرهای فیبر نوری بر پایه میکروکاواک تداخل سنجی فابری-پرو استفاده گسترده‌ای در اندازه‌گیری فشار دارند. حسگرهای فابری-پرو فیبر نوری عموماً نیز به دو دسته درونی و بیرونی طبقه‌بندی می‌شوند. در هر نوع از حسگرهای درونی و بیرونی اغلب از یک فیبر تکمد برای انتقال نور از یک منبع ساطع کننده به تداخل سنج و از تداخل سنج به آشکارساز استفاده می‌شود. در حسگرهای فیبر نوری بیرونی، حسگری در خارج از فیبر نوری انجام می‌شد. فیبر نوری تنها مجرایی برای انتقال نور بود که به این حسگرها، حسگرهای فیبر نوری بیرونی (غیرذاتی^۴) می‌گویند. در این حالت، فیبرها به طور فعل در عمل حسگری شرکت ندارند و فقط وظیفه هدایت و انتقال باریکه نور را بر عهده دارند. در این حسگرها، حسگر بیرون از فیبر نوری قرار دارد. فیبر نوری به عنوان محیط انتقال دهنده نور به آشکارساز و پردازشگر عمل می‌کند. حسگر باید متناسب با تغییرات عوامل محیطی انتخاب شود تا برای مدوله کردن خواص نور در پاسخ به اغتشاش محیطی مورد نظر قابل طراحی باشد. بنابراین در این پیکربندی نخست فیبر نوری انرژی نورانی را به سر دیگر آن که حسگر است منتقل می‌کند و در آنجا تغییرات محیطی روی نوری که از حسگر عبور می‌کند تأثیر گذاشته و سپس توسط همان فیبر (و یا یک فیبر نوری دیگر) به آشکارساز منتقل می‌شود. ساختار حسگرهای غیرذاتی تداخل سنجی فابری-پرو به گونه‌ای است که به طور کلی با استفاده از یک فیبر نوری با یک سطح بازتابنده (لایه نشانی شده) یا بریده شده به صورت عمود و قطعه اپتیکی غیر فیبر با یک سطح بازتابنده ساخته می‌شود مانند دیافراگم ثابت شده در یک دیواره توخالی و یک نگهدارنده با دیواره تخت و... . دیافراگم در زیر فشار تغییر حالت داده و طول کلاواک دچار

حسگر آن‌ها ۰/۰۰۱۲ میکرومتر بر کیلوپاسکال به دست آمد [۱۸]. جونگهیون و همکاران در سال (۲۰۱۵) یک حسگر فیبر نوری فابری-پرو ساختند که دیافراگم آن‌ها از جنس پلی‌دی-متیل‌سیلوکسان، پاریلن و طلا بود که در نهایت حساسیت حسگر آن‌ها در اندازه‌گیری فشار گاز ۱/۴۱ میکرومتر بر کیلوپاسکال به دست آمد [۱۹]. ژانگ و همکاران در سال (۲۰۱۷) یک حسگر فیبر نوری مبتنی بر فناوری فابری-پرو با استفاده از دیافراگم پلی‌وینیل‌کلراید برای اندازه‌گیری فشار گاز با حساسیت فوق العاده بالا ارائه کردند. نتایج به دست آمده نشان داد که حساسیت فشار ۶۵/۵ نانومتر بر مگاپاسکال در ۱۵۶۵ در دمای پایین ۵/۵ کیلوپاسکال بر درجه سانتی‌گراد می‌باشد [۱۲]. شیوه‌چان‌هر و همکاران (۲۰۲۱) سه عدد حسگر فیبر نوری فابری-پرو با ضخامت‌های مختلف ۰/۵، ۰/۷ و ۱ میلی‌متر ساختند. دیافراگم آن‌ها از جنس اپوکسی بود و در نتیجه بهترین حساسیت حسگرهای آن‌ها ۱۷۵/۵ پیکومتر بر کیلوپاسکال برای حسگر با ضخامت ۰/۵ پیکومتر بر میلی‌متر بود [۲۰]. حسن شاهی و همکاران (۲۰۲۲) سه عدد حسگر فیبر نوری فابری-پرو با ضخامت‌های مختلف ۴۲، ۵۶ و ۷۰ میکرومتر و طول کلاواک ۱/۲۵ میلی‌متر ساختند. دیافراگم آن‌ها از جنس پی‌وی-یکسان ۱/۲۵ میلی‌متر ساخته شد. تأثیر فشار گاز آرگون و همچنین ضخامت دیافراگم به عنوان مؤلفه مهم بر حساسیت حسگری فشار گاز مورد بررسی قرار گرفت. در نتیجه بهترین حساسیت حسگرهای آن‌ها ۰/۰۳۵ نانومتر بر میلی‌بار برای حسگر با ضخامت ۴۲ میکرومتر بود [۲۱].

در این تحقیق، حسگرهای فیبر نوری ارزان‌قیمت، دارای ابعاد کم و در عین حال با حساسیت بالا مبتنی بر کلاواک فابری-پرو مورد بررسی قرار گرفته است. هدف بررسی تأثیر جنس مواد پلیمری مختلف با ضخامت و طول کلاواک یکسان بر حسگر فیبر نوری فابری-پرو برای اندازه‌گیری فشار گاز اکسیژن و نیتروژن می‌باشد. در این راستا از مواد پلیمری مختلف با نام‌های پلی‌یورتان، پی‌وی‌سی نرم و پی‌وی‌سی سخت برای لایه نشانی حسگرها استفاده می‌شود و در نهایت با در نظر داشتن مدول یانگ هر کدام از این پلیمرها، مناسب‌ترین ماده پلیمری به عنوان حسگر با حساسیت بالا پیشنهاد می‌گردد.

۲- مبانی نظری

تداخل سنجی دانش ترکیب دو یا چند موج است، به نحوی که با بررسی موج حاصل از این ترکیب بتوان اطلاعاتی در مورد موج‌های ورودی به دست آورد. اساس کار تداخل سنجها بر پایه اصول تداخل نور می‌باشد. در سال ۱۸۹۶ Charles Fabry^۲ یا تداخل سنج چند باریکه‌ای و یا اتالون توسط چارلز فابری^۳ و

³ Alfred Perot

⁴ Extrinsic

² Charles Fabry

حسگرها، همان کاواک فابری-پرو است. این کاواک از دو وجه فیبر نوری بریده شده و یک دیافراگم حساس به فشار تشکیل شده است که بین آن‌ها، لایه هوا می‌باشد. حساسیت دیافراگم به تغییرات فشار ΔP بصورت تغییر در طول کاواک ΔL مشخص می‌شود. رابطه بین تغییر فشار ایجاد شده و تغییر طول کاواک بصورت رابطه (۳) بیان می‌شود [۱۴]:

$$\Delta L = \frac{3(1-\nu^2)D^4}{256Et^3} \Delta P \quad (3)$$

در رابطه (۳)، D و t به ترتیب، قطر و ضخامت دیافراگم هستند. همچنین ν و E به ترتیب نسبت پواسون و مدول یانگ دیافراگم هستند.

۳- فعالیت‌های آزمایشگاهی

به منظور ساخت پروب حسگر فابری-پرو با استفاده از دیافراگم‌هایی با طول کاواک و ضخامت یکسان و مدول یانگ پایین مانند مواد پلیمری خاص و همچنین تست حسگری به تجهیزات اپتیکی، ابزارها و وسائل مکانیکی نیاز می‌باشد. این تجهیزات عبارتند از: دستگاه تحلیل گر طیف نوری^۷ (OSA)، لیزر پهن‌باند کوک‌پذیر^۸، پچ‌کور دیافراگم (FC)، کوپلر فیبر نوری، محفظه خلاء^۹، گیج خلاء، دستگاه پمپ خلاء، کپسول گاز اکسیژن و نیتروژن، کولیس دیجیتال، آداپتور فیبر نوری، فرول سرامیکی، اپوکسی، قطعه الومینیومی توخالی هم اندازه محفظه خلاء، پلی-یورتان^{۱۰} (PU)، پی‌وی‌سی نرم^{۱۱} (Soft PVC) و پی‌وی‌سی سخت^{۱۲} (Rigid PVC)، لایه نانو ذرات نقره.

۱-۳- ساخت حسگر فابری-پرو

برای ساخت حسگر فیبر نوری فابری-پرو، دو مرحله لازم است. مرحله اول ایجاد کاواک هوا با طول مشخص و مرحله دوم ایجاد لایه‌ای از مواد پلیمری مختلف با ضخامت یکسان بر روی فیبر نوری است. سپس حسگر برای قرارگیری در محفظه خلاء آماده می‌شود. اولین مرحله در ساخت حسگر فیبر نوری فابری-پرو ایجاد کاواک هوا با طول مشخص می‌باشد. برای این کار از یک پچ‌کور دیافراگم FC با ضخامت ۱۲۵ میکرومتر استفاده کرده و بر روی یک سر آن فرول سرامیکی قرار داده و با قرار دادن انتهای کولیس دیجیتال در درون فرول سرامیکی به راحتی کاواک هوابی با طول مشخص ایجاد می‌گردد. در این آزمایش

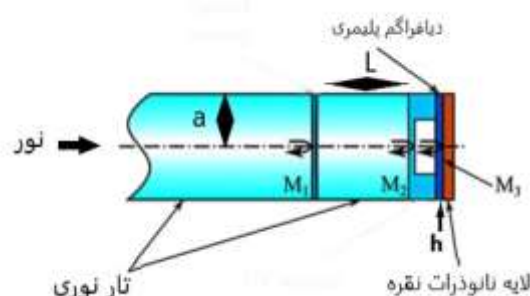
تغییر می‌شود و سیگنال‌های اعمالی بر حسگر از تداخل باریکه-های بازتابی نیز تولید می‌شود. بیشینه جابجایی دیافراگم بر اثر فشار بصورت رابطه (۱) بیان می‌شود:

$$(1) \quad \omega_{\max} = \frac{3(1-\mu^2)pa^4}{16Eh^3}$$

که در این رابطه، a شعاع مؤثر دیافراگم، P فشار، h ضخامت دیافراگم، E مدول یانگ^{۱۳} مربوط به جنس دیافراگم و μ ضریب پواسون^{۱۴} است. همچنین از جمله پارامترهای مؤثر در حساسیت حسگرها فیبر نوری فابری-پرو، مدول یانگ ماده‌ای است که به عنوان دیافراگم استفاده می‌شود. حساسیت حسگر به میزان مدول یانگ نیز بستگی دارد. ما به دنبال آن هستیم که با استفاده از دیافراگم‌هایی با مدول یانگ پایین مانند مواد پلیمری خاص، حساسیت حسگر را بیشتر کنیم. در نتیجه برای بدست آوردن رابطه حساسیت دیافراگم (مقدار تغییرات جابجایی دیافراگم نسبت به فشار اعمالی روی آن) از رابطه زیر استفاده می‌کنیم [۲۲]:

$$(2) \quad \omega_c = \frac{d\omega_{\max}}{dp} = \frac{3a^4(1-\mu^2)}{16Eh^3}$$

حساسیت دیافراگم با افزایش نسبت پواسون و شعاع و همچنین با کاهش ضخامت دیافراگم و مدول یانگ، افزایش می‌یابد. شکل (۱)، طرح‌واره حسگر فیبر نوری فابری-پرو را نمایش می‌دهد که در انتهای فیبر نوری، دیافراگم پلیمری قرار دارد:



شکل (۱): طرح‌واره حسگر فیبر نوری فابری-پرو دیافراگمی

در این شکل، باریکه نور از گاف هوای موجود بین فیبر نوری و پلیمر بازتاب شده و داخل فیبر نوری تزویج می‌شوند. سه موج منعکس شده یکی از انتهای فیبر نوری یعنی سطح M_1 و دو موج دیگری از سطوح داخلی و بیرونی کلاهک پلیمری یعنی سطح M_2 و سطح M_3 به فیبر نوری منتقل می‌شوند. بخش اصلی

⁷ Optical Spectrum Analyzer

⁸ Tunable Laser Wide Source

⁹ Fixed Connector

¹⁰ Vacuum chamber

¹¹ Poly Urethane

¹² Soft Poly Vinyl Chloride

¹³ Rigid Poly Vinyl Chloride

⁴ Young Modulus

⁵ Poisons Ratio

سعی شده است که تست‌ها در خلاء مناسب انجام شود لذا حسگر ساخته شده باید به گونه‌ای در محفظه قرار گیرد که گیج خلاء فشار کمتر از ۱۰ میلی‌بار را نشان دهد (که در این آزمایش فشار تا ۶ میلی‌بار رسانده شد که عدد قابل قبولی است). برای این کار قطعه آلومینیومی توانخالی هم اندازه با محفظه خلاء درست شده و حسگر درون محفظه قرار داده می‌شود. سپس درون آن با رزین-اپوکسی پر شده و بعد از یک روز به خوبی خشک شده و درون محفظه خلاء قرار داده می‌شود به گونه‌ای که فضایی برای خروج هوا نداشته باشد.

طریقه درست کردن اپوکسی برای قالب‌گیری قطعه آلومینیومی به این صورت است که یک قاشق غذاخوری از اپوکسی را درون ظرفی ریخته و چهار تا پنج درصد از هاردنر همراه آن را با سرنگ درون ظرف ریخته و مواد به خوبی مخلوط می‌گردد. (این ماده که به آن اضافه شد، باعث می‌شود که اپوکسی حالت چسبندگی به خود بگیرد و درون قالب خشک شود). در آخر هم اپوکسی را درون قطعه آلومینیومی ریخته و یک روز صبر کرده تا قالب آن را به خود بگیرد و به خوبی خشک شود. در شکل (۳) قطعه آلومینیومی و اپوکسی نشان داده شده است.



شکل (۳): قرارگیری حسگر در قطعه آلومینیومی و ریختن اپوکسی درون آن

حسگرهای فیبر نوری ساخته شده در شکل‌های (۴) تا (۶) نشان داده شده‌اند:



شکل (۴): حسگر فیبر نوری فابری-پرو با لایه PU

برای تمامی حسگرها کاواک هوایی با طول ۱/۰ میلی‌متر ایجاد شد. مهمترین قدم در ساخت حسگر، ایجاد لایه (ایجاد دیافراگم) بر روی فیبر نوری می‌باشد. در این آزمایش پلیمرهایی اعم از پلی‌بورتان (PU)، پی‌وی‌سی سخت (Rigid PVC) و پی‌وی‌سی نرم (Soft PVC) به عنوان لایه دیافراگم استفاده شد. لایه‌های پلی‌بورتان و پی‌وی‌سی سخت با ضخامت‌های ۳۰۰ میکرومتر تهیه و برای کامل کردن مراحل ایجاد لایه (ایجاد دیافراگم)، لایه‌ای از نانو ذرات نقره به اندازه ۵۰ نانومتر بر روی دیافراگم‌ها انجام شد. استفاده از این لایه سبب افزایش میزان بازتاب در این حسگرها بوده و فقط بر روی پلیمرهای پلی‌بورتان و پی‌وی‌سی سخت قابل لایه‌نشانی شدن است. در نهایت لایه تهیه شده بر روی نوک فیبر نوری قرار داده و با چسب در جای خود ثابت نگه داشته می‌شود. نحوه کار به این صورت است که در ابتدا قالبی به اندازه ۳۰۰ میکرومتر آماده شده و بعد از تهیه ماده پلیمری، هاردنر (ماده سفت‌کننده) مخصوص به آن ماده با (حدود پنج درصد) به آن اضافه می‌شود. بعد از مخلوط کردن خوب آنها با یکدیگر، درون قالب ساخته شده ریخته شده و سپس فیبر نوری درون مرکز قالب گذاشته می‌شود. جهت خشک شدن، قالب آماده شده درون مایکروفر به مدت حدود ۹۰ دقیقه قرار داده می‌شود. در نهایت فیبر نوری از قالب جدا شده و فیبر نوری اصلی (همان فیبری که بر روی نوک آن فرول سرامیکی قرار می‌گیرد و توسط کولیس دیجیتال کاواک هوایی با طول ۱/۰ میلی‌متر ایجاد می‌شود) در مرکز قالب قرار داده شده و لایه ایجاد شده را با چسب محکم در جای خود ثابت نگه می‌شود.



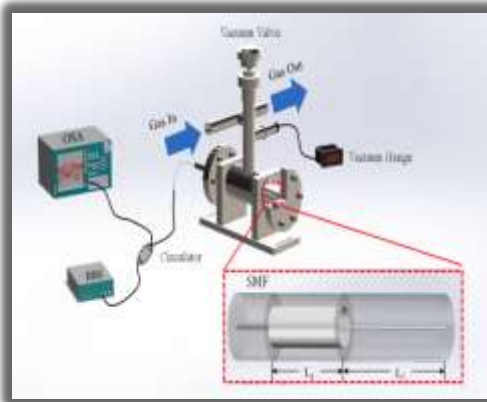
شکل (۲): سمت راست: نمونه‌ای از لایه ساخته شده، سمت چپ: لایه قرارگرفته روی فیبر نوری

برای لایه‌نشانی Soft PVC بر روی فیبر نوری، ۱۰ لایه PVC را که ضخامت هر لایه آن ۳۰ میکرومتر است، برش داده و روی کاواک هوا بصورت جدا از هم طوری که بین آن‌ها هوا قرار نگیرد، لایه‌نشانی می‌گردد. سپس لایه‌های Soft PVC با چسب و واشر در جای خود ثابت نگه داشته می‌شود.

پس از قراردادن لایه پلیمر بر روی فیبر نوری، حسگر ساخته شده برای قرارگیری در محفظه خلاء آماده می‌شود. در این کار

طیف‌سنجد نوری قابل مشاهده است.

قابل ذکر است یکی از خروجی‌های کوپلر $2\text{-}2$ مورد استفاده قرار نمی‌گیرد و بدليل عدم نیاز به این پورت، رها می‌گردد. در واقع در اینجا کوپلر استفاده شده نقش سیرکولاتور را بازی می‌کند که بدليل نبودن سیرکولاتور، از کوپلر استفاده شده که یکی از خروجی‌های آن رها شده است. همچنین در ادامه تست‌ها گیج خلاء آنالوگ مستقیماً به محفظه خلاء متصل شده و فشار را بر حسب میلی‌بار اندازه‌گیری می‌کند. سپس توسط سیلندر گاز، فشاری به محفظه وارد شده که توسط گیج خلاء آنالوگ اندازه‌گیری می‌شود. در نهایت میزان تغییرات طول موج در دستگاه تحلیل‌گر طیف نوری قابل مشاهده است.



شکل (۷): چیدمان تجربی حسگر فیبر نوری فابری-پرو برای اندازه‌گیری

۴- نتایج و بحث

پس از انجام تست حسگرها به کمک دستگاه تحلیل‌گر طیف نوری و با استخراج اطلاعات مهم طیف خروجی از دستگاه تحلیل‌گر طیف نوری تحلیل طیف‌ها مدنظر قرار گرفت. نمودار تغییرات طول موج بر حسب فشار رسم شده به کمک نرم‌افزار اکسل در شکل‌های (۸) و (۹) نشان داده شده است با تحلیل نمودار هر کدام از این حسگرها و قیاس آن‌ها با یکدیگر، می‌توان حساسیت حسگرها را با یکدیگر مقایسه کرد. در شکل (۸) و (۹) شبیه تغییرات طول موجی حسگری نسبت به هم مشاهده می‌شود که تغییرات طول موج نسبت به فشار کاهشی است. از آنجایی که شبیه نمودار معیاری برای حساسیت حسگر است، می‌توان مقایسه‌ای میان حساسیت حسگرها با لایه‌های پلیمری مختلف به عمل آورد. بررسی حسگرها در دمای ثابت آزمایشگاهی انجام و از دو گاز اکسیژن و نیتروژن در بازه فشاری ۱۰ تا ۵۰ میلی‌بار به منظور بررسی تست‌های فشار استفاده شده و دستگاه برای این دو گاز کالیبره است.



شکل (۵): حسگر فیبر نوری فابری-پرو با لایه Rigid PVC



شکل (۶): حسگر فیبر نوری فابری-پرو با لایه Soft PVC

۲-۳- آماده‌سازی چیدمان اپتیکی جهت تست حسگرها

پس از اتمام فرایند ساخت، حسگرها برای انجام تست آماده می‌شوند. در این آزمایش مطابق چیدمان شکل (۷) نور از منبع با طول موج مرکزی 1547 نانومتر و پهنه‌ای باند $79/6$ نانومتر از طریق فیبر نوری تکمد به یک کوپلر می‌رسد. نور بازتابیده از کوپلر $2\text{-}2$ از طریق پورت ورودی استفاده نشده به OSA می‌رسد و طیف بازتابی و اندازه‌گیری‌های مربوطه قابل مشاهده خواهند بود. فشار گاز وارد شده به محفظه بر حسب میلی‌بار و در بازه فشاری 10 تا 50 میلی‌بار اندازه‌گیری شده و باعث ایجاد شیفت طول موجی در تحلیل‌گر طیف نوری (OSA) می‌گردد. بعد از برپایی چیدمان حسگر، طیف بازتابی از پرپول حسگری (شامل بازتابی‌ها از نواحی با ضریب شکست متفاوت) منجر به تشکیل یک طیف تداخلی در بازه وسیعی از طول موج‌ها در طیف‌سنجد می‌شود. بعد از اعمال گاز در فشار مشخص و تحت تأثیر قرار گرفتن طول و ضریب شکست مؤثر کاواک، تغییر الگوی تداخلی با شاخصه تغییر طول موج در طیف‌سنجد مشاهده می‌شود. میزان جابجایی طول موجی به ازای یک طول موج شاخص پایش و ثبت می‌شود که در آن طول موج شاخص، به ازای یکی از طول موج‌های فشار گاز سبب انحراف دیافراگم و به تبع آن تأثیر بر طول کاواک خواهد داشت که تغییرات شدتی و طول موجی ناشی از آن در

جدول (۲). حساسیت حسگرها نسبت به گاز نیتروژن

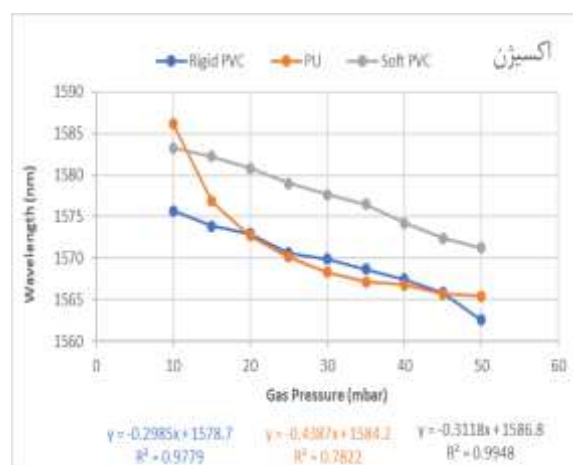
حساسیت حسگر با Rigid PVC لایه (نانومتر بر میلیبار)	حساسیت حسگر با Soft PVC لایه (نانومتر بر میلیبار)	حساسیت حسگر با PU لایه (نانومتر بر میلیبار)
۰/۲۹۸	۰/۳۱۱	۰/۴۳۸

۵- نتیجه‌گیری

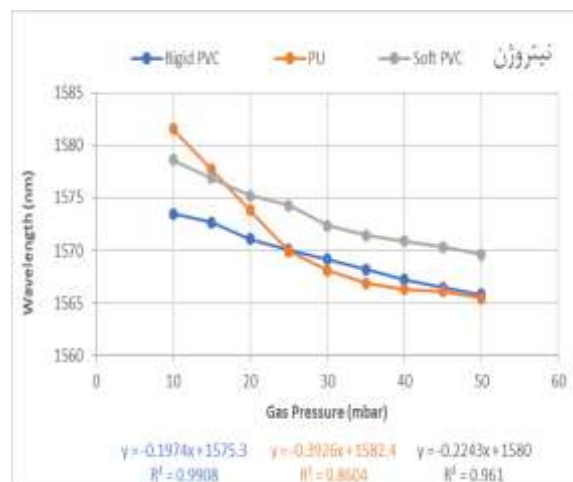
در این مقاله، طراحی و ساخت سه عدد حسگر فیبر نوری فابری-پرو با لایه‌نشانی مواد پلیمری با مدول یانگ متفاوت اعم از پلی‌بورتان، پی‌وی‌سی نرم و پی‌وی‌سی سخت با ضخامت‌های یکسان ۳۰۰ میکرومتر و طول کاواک ۱۰ میلی‌متر برای اندازه-گیری فشار گاز معروفی شده و تأثیر این سه مواد پلیمری بر حساسیت حسگری فشار گاز مورد بررسی قرار گرفت. با توجه به شبیه‌نمودار (تغییرات طول موج بر حسب فشار) مشاهده می‌شود که حسگر لایه‌نشانی شده با پلی‌بورتان برای گاز اکسیژن و نیتروژن بهتر ترتیب دارای حساسیت ۰/۴۳۸ و ۰/۳۹۲ نانومتر بر میلی‌بار، حسگر لایه‌نشانی شده با پی‌وی‌سی نرم برای گاز اکسیژن و نیتروژن به ترتیب دارای حساسیت ۰/۳۱۱ و ۰/۲۹۸ نانومتر بر میلی‌بار و حسگر لایه‌نشانی شده با پی‌وی‌سی سخت برای گاز اکسیژن و نیتروژن به ترتیب دارای حساسیت ۰/۱۹۷ و ۰/۱۹۷ نانومتر بر میلی‌بار می‌باشدند. نتایج بدست آمده نشان می‌دهد که حسگر ساخته شده با لایه‌نشانی پلی‌بورتان برای حساسیت بیشتری نسبت به حسگرهای ساخته شده برای هر دو گاز دارد.

۶- مراجع

- [1] Udd, Eric, William B. Spillman Jr, et al. "Fiber optic sensors: an introduction for engineers and scientists," John Wiley & Sons, 2011.
- [2] N. Rasouli, et al. "Design and Simulation of a Novel Surface Plasmon Based Bio-Nanosensor for Detection of DNA Hybridization," Journal of Passive Defence Science and T 11. 275-278, 2020.
- [3] A. Riahi, et al. " Simulation and Fabrication of Tapered Fiber Optics Hydrogen Sensor,"Journal of Applied Electromagnetic 6. 15-21 in persian, 2018.
- [4] A. Riahi, et al. "Investigation of the effect of the taper geometry on the sensitivity of tapered-fibre gas sensors," Journal of Modern Optics 67.14 . 1259-1266, 2020.
- [5] G. Rajen, "Optical Fiber Sensors,"CRC Press1, 8-15, 2015.
- [6] K. Grattan, and B. Meggitt Wolfocis, "Optical Fiber Sensor Technology," Springer Press 1, 120-130, 2000.
- [7] Z. Gong, K. Chen, X. Zhou, and Z. Zhao, "High sensitivity Fabry-Perot interferometric acoustic sensor for low frequency acoustic pressure detection," Journal of Lightwave Technology 35(24), 5276-5279, 2017.



شکل (۸): نمودار تغییرات طول موج بر حسب فشار گاز اکسیژن برای تمامی حسگرها



شکل (۹): نمودار تغییرات طول موج بر حسب فشار گاز نیتروژن برای تمامی حسگرها

با توجه به رابطه (۲)، مدول یانگ ماده به عنوان مهم‌ترین پارامتر تأثیرگذار بر میزان حساسیت حسگر است و با ثابت درنظر گرفتن بقیه پارامترها مانند طول کاواک، ضخامت دیافراگم و... می‌توان نتایج را مورد بررسی قرار داد. با توجه به اینکه پلی‌بورتان نسبت به بقیه پلیمرها از مدول یانگ کمتری برخوردار است، لذا این پلیمر نسبت به پلیمرهای دیگر دارای حساسیت بیشتری است. نتایج ناشی از اترگذاری جنس پلیمر بر حساسیت حسگر از جداول (۱) و (۲) نیز قابل مشاهده است.

جدول (۱): حساسیت حسگرها نسبت به گاز اکسیژن

حساسیت حسگر با Rigid PVC لایه (نانومتر بر میلیبار)	حساسیت حسگر با Soft PVC لایه (نانومتر بر میلیبار)	حساسیت حسگر با PU لایه (نانومتر بر میلیبار)
۰/۱۹۷	۰/۲۲۴	۰/۳۹۲

- [8] J. Khalilzadeh et al. "Experimental study of diaphragm thickness effect on the sensitivity of the gas pressure sensor based on Fabry-Perot optical fiber," *Scientific Journal of Applied Electromagnetics* 10.1 2022.
- [9] J. Xu, X. Wang, and A. Wang, " Miniature all-silica fiber optic pressure and acoustic sensor, " *Optics Letters* 37(2), 3269–3271, 2005.
- [10] G Z. Xiao et all. " Fiber optic Fabry Perot gas pressure sensors embedded in pressure fitting, " *Microwave and optical Technology Letters*, 42(6), 486–489, 2004.
- [11] H. Moradi, et al. "Fiber optic Fabry-Pérot acoustic sensor using PVC and GO diaphragms, " *OSA Continuum*, 3.4: 943-951, 2020.
- [12] Z. Zhang et all, "High sensitivity gas pressure sensor based on fiber tip PVC diaphragm Fabry Perot interferometer," *Journal of lightwave technology*, 35(18), 4067-4071, 2017.
- [13] Q. Y. Wang, Q. X. Yu, "Polymer diaphragm based sensitive fiber optic Fabry-Perot acoustic sensor, " *Chin. Opt. Lett.* 8, 266–269, 2010.
- [14] J. Ma, H. Xuan, H. Ho, and W. Jin, " Fiber-optic Fabry-perot acoustic sensor with Multilayer Graphene diaphragm, " *IEEE Photonics Technology Letters* 25(10), 932-935, 2013.
- [15] C. Pang, H. Bae, A. Gupta, k. Bryden , M. Yu "MEMS Fabry-Pérot sensor interrogated by optical system-on-a-chip for simultaneous pressure and temperature sensing, " *Opt. Express* 21, 21829–21839, 2013.
- [16] W. Zhang, P. Lu, W. Ni, W. Xiong, J. Zhang, "Gold-diaphragm based Fabry-Perot ultrasonic sensor for partial discharge detection and localization, " *IEEE Photonics J.* 15, 4256–4167, 2020.
- [17] F. Xu, et al. "Fiber-optic acoustic pressure sensor based on large-area nanolayer silver diaphragm," *Opt. Lett.* 39, 2838–2840, 2014.
- [18] B. Hyungdae, et al. "Hybrid miniature Fabry-Perot sensor with dual optical cavities for simultaneous pressure and temperature measurements," *Journal of Lightwave Technology* 32.8 . 1585-1593, 2014.
- [19] E. Jonghyun, et al. "Fiber optic Fabry-Perot pressure sensor based on lensed fiber and polymeric diaphragm," *Sensors and Actuators A: Physical* 225 . 25-32, 2015
- [20] H. Shiu-Chuan, Sh. Zhong Weng, "Fiber Bragg Grating Pressure Sensor Integrated with Epoxy Diaphragm," *Sensors* 21.9 . 3199, 2021.
- [21] C. Fabry, A. Perot, "Theorie et applications d'une nouvelle methode de spectroscopie interferentielle, " *Ann. Chim. ser.* 16, 115-144, 1899.
- [22] S. Muzalifah Mohd, et al. "A new diaphragm material for optical fibre Fabry-Perot pressure sensor," *2009 Fifth International Conference on mems of nano, and Smart Systems*. IEEE, 2009.